СТРУКТУРНЫЕ И ФАЗОВЫЕ ПРЕВРАЩЕНИЯ В СПЛАВАХ СИСТЕМЫ Mg-Y-Ni-H

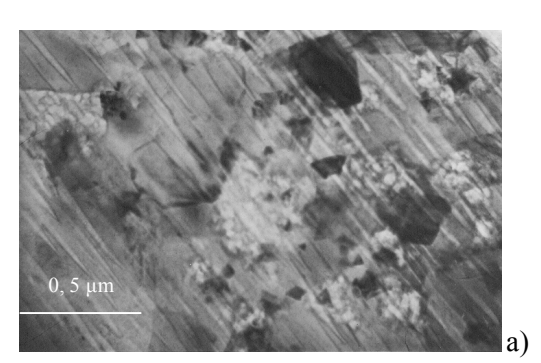
<u>Максимчук И.Н.,</u> Ткаченко В.Г., Карпец М.В., Щербакова Л.Г., Волосевич П.Ю., Малка А.Н., Медалович Н.П., Фризель В.В., Пятачук С.Г.

Институт проблем материаловедения им. И.Н. Францевича НАН Украины, 03680 ГСП ул. Кржижановского 3, Киев – 142, Украина,

e-mail: icems@ipms.kiev.ua

Магниевые сплавы благодаря своим высоким удельным характеристикам находят все более широкое применение в различных областях промышленности. В связи с этим исследование фазовых и структурных превращений, вызванные агрессивными средами, является актуальной задачей. В данной работе приведены результаты сравнительного анализа структурных и фазовых превращений исходного литого состояния сплава $Mg_{80}Y_5Ni_{15}$ и полученного методом спиннингования расплавов в атмосфере гелия, а также их наводороженных состояний.

Микроструктура ленты, полученная методом просвечивающей электронной микроскопии, приведена на рис 1. Как видно, она представляет собой кристаллические элементы, размером от 25 до 500 нм, которые находятся в аморфной фазе. Это подтверждается анализом электронограмм и темнопольных изображений, полученных в кольцевых отражениях точечного и диффузного характера. Содержание наноразмерной фазы не превышает 5 – 8 % от исследованной площади.



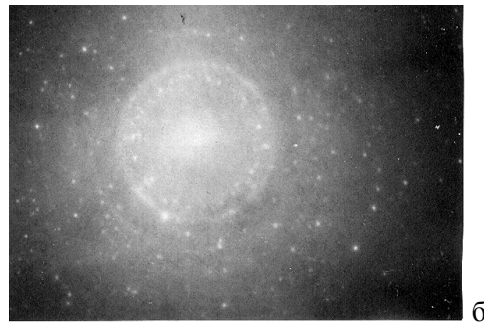


Рис.1. Микроструктура ленты из сплава $Mg_{80}Y_5Ni_{15}$ (а) и электронограмма из это-

го участка (б).

Дифрактометрические исследования проводили на дифрактометре ДРОН-УМ1 в монохроматическом CuK_a излучении. В качестве монохроматора использовали монокристал графита, установленный на дифрагированном пучке. Для высокотемпературных рентгенографических исследований использовали приставку УВД-2000 в атмосфере гелия. Обработку дифрактометрических данных осуществлялась использованием программ для полнопрофильного анализа рентгеновских спектров смеси поликристаллических фазовых составляющих Powder Cell 2.4.

На дифрактограммах исходного материала фиксируется аморфное гало и слабые максимумы некоторых кристаллических фаз, в частности, оксида магния MgO (рис. 2.). Насыщение водородом приводит к сдвигу аморфного гало в сторону малых углов дифракции. При дифрактометрических 'in-situ' исследованиях исходной и наводороженной ленты не обнаружены изменения дифракционной картины до температуры 150°C.

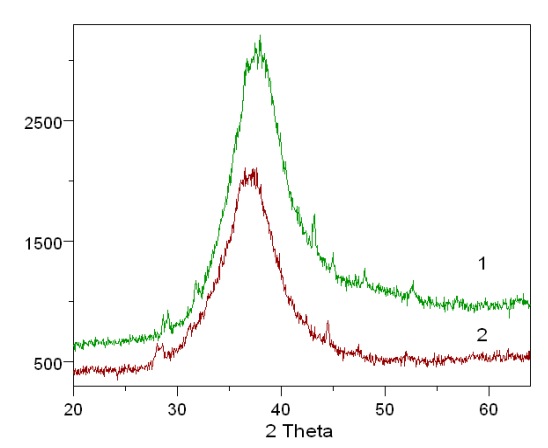


Рис.2. Дифракционные картины исходного образца $Mg_{80}Y_5Ni_{15}$ (1) и после насыщения его водородом (2).

Первые максимумы кристаллических фаз зарегистрированы при повышении температуры до 200 °C. Анализ дифракционной картины показывает, что они принадлежат фазам Mg₂Ni и Mg. В гидрированном сплаве появляются сильно размытые максимумы гидрида иттрия

кубической YH_2 c периодом решетки а=0,5178(2) нм. Повышение температуры до 300 – 400 °C приводит к увеличению интенсивности и сужению пиков от кристаллических фаз (рис.3). Следует отметить, что в обоих образцах до температуры 300 °C зафиксирован ряд слабых дополнительных максимумов, которые не принадлежат ни одной из известных кристаллических фаз. В первом приближении набор этих пиков можно описать в рамках тетрагональной ячейки с периодами а=0,7103 нм, c=1,0050 HM

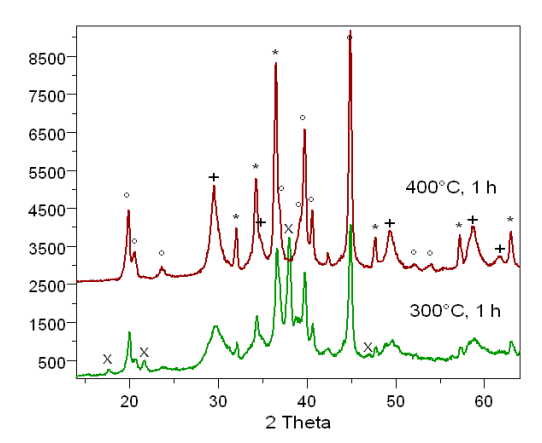


Рис.3. Дифракционные 'in-situ' картины сплава $Mg_{90}Y_5Ni_{15}$ после насыщения водородом и отжига. Обозначения максимумов: *-Mg, °-Mg₂NiH, +-YH₂, х – дополнительные пики.

Электрохимическое поведение сплава $Mg_{80}Y_5Ni_{15}$ в литом и аморфном состоянии исследовалось в щелочных и нейтральных хлорсодержащих электролитах. Анодные и катодные вольтамперные кривые ($\partial E/\partial \tau = 1$ мB/c) снимали в стандартной 3-х электродной ячейке. В качестве электродов сравнения использовали в щелочной среде ртутно-оксидный электрод, а в нейтральных средах - насыщенный хлорсеребряный, вспомогательный электрод - платиновая пластинка.

Полученные зависимости свидетельствуют о полной идентичности катодного поведения литого и аморфного сплавов в щелочных электро-

литах обеих концентраций. Катодное выделение водорода протекает с высоким перенапряжением, наклон линейного участка $\log i$ - E равен 0.13 - 0.16 В. Активации поверхности аморфного сплава путем катодного восстановления при 5-ти кратном циклировании потенциала в области $E_{\text{кор.}}$ - 1.2 В не приводит к изменению параметров катодного процесса. Катодные кривые, полученные на электродах после активации поверхности в растворе 0.5M H_2SO_4 (15 с), характеризуются существенным снижением перенапряжения выделения водорода (на 0.3 В) и наклона линейного участка 0.12 В.

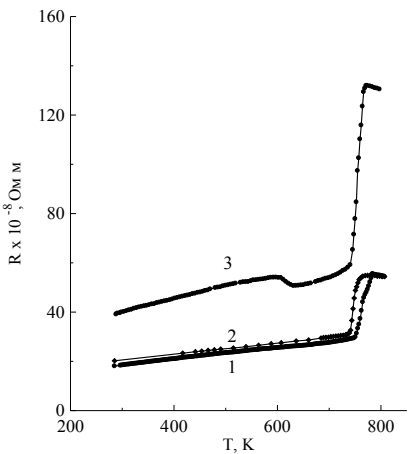


Рис. 4. Температурные зависимости электросопротивления литого сплава $Mg_{80}Y_5Ni_{15}$ при нагреве (1), охлаждении (2) и после насыщения водородом (3).

Анализируя полученные данные, можно сделать вывод, что литой сплав вследствие более высокой структурной неоднородности и наличия границ зерен обладает более низкой коррозионной стойкостью в хлоридных растворах и склонен к образованию менее совершенных пассивных пленок в щелочных электролитах

Таким образом, по данным температурной зависимости ЭС и рентгеноструктурных исследований установлен эффект влияния водорода на структуру аморфизованного сплава, проведен анализ фазовых превращений, установлено наличие неизвестной, вероятно, водородосодержащей фазы, которая распадается при 300 °С. Подтверждается вывод о том [1], что изменение структуры сплава, в частности, его аморфизация, позволяет существенно повысить коррозионную стойкость и может рассматриваться как способ улучшения его эксплуатационных характеристик.

Литература

1.Inoue A. and Masumoto T. Production and properties of light – metal – based amorphous alloys. Mat. Sci.& Eng. 1991;A133: 6-9.